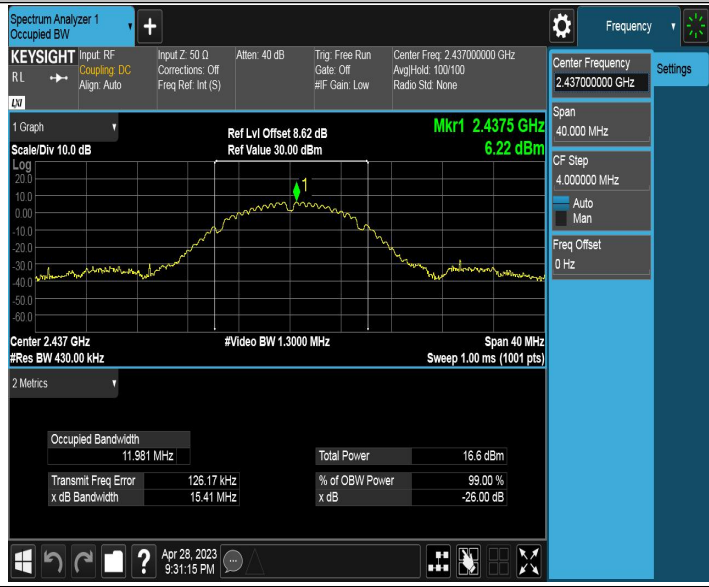
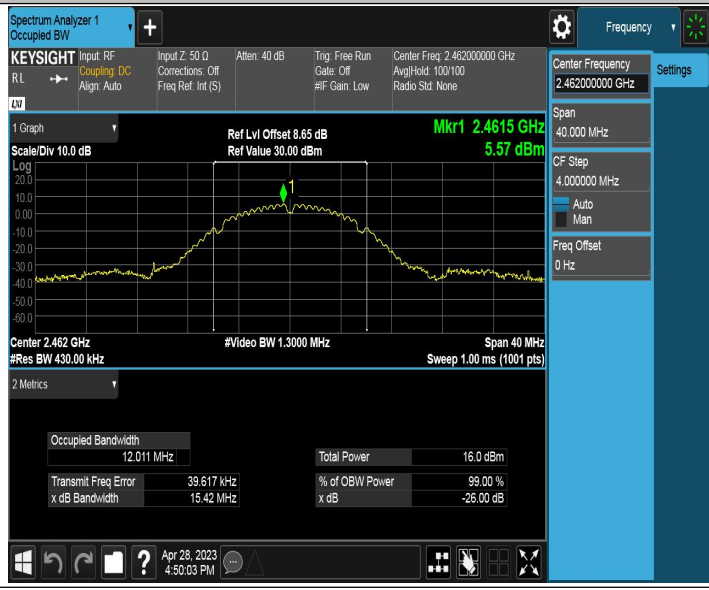




11B_Ant2_2437



11B_Ant1_2462



11B_Ant2_2462



11G_Ant1_2412



11G_Ant2_2412



11G_Ant1_2437



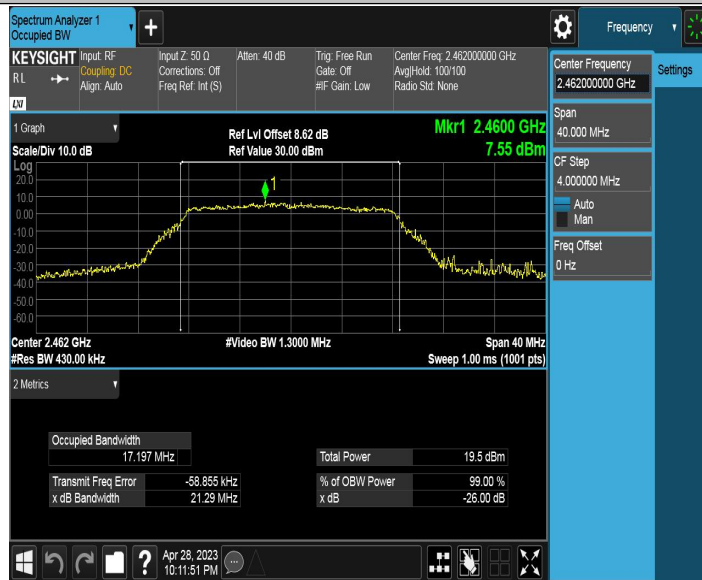
11G_Ant2_2437



11G_Ant1_2462



11G_Ant2_2462



11N20SISO_Ant1_2412



11N20SISO_Ant2_2412



11N20SISO_Ant1_2437



11N20SISO_Ant2_2437



11N20SISO_Ant1_2462



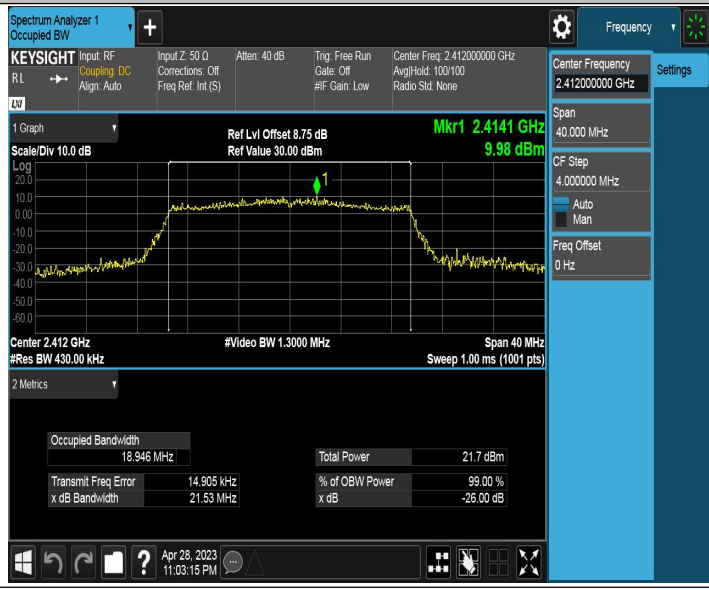
11N20SISO_Ant2_2462



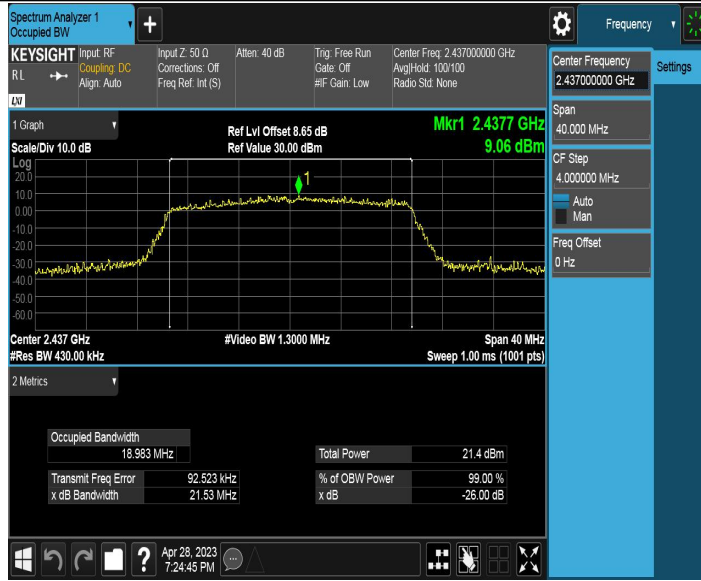
11AX20SISO_Ant1_2412



11AX20SISO_Ant2_2412



11AX20SISO_Ant1_2437



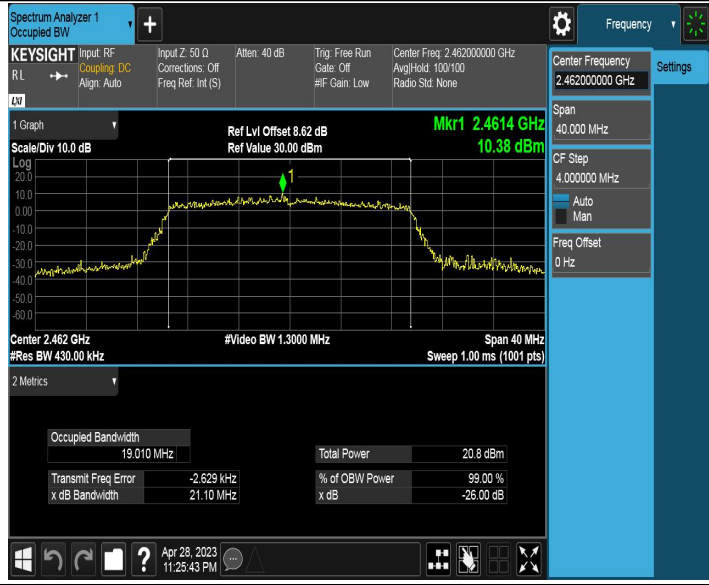
11AX20SISO_Ant2_2437



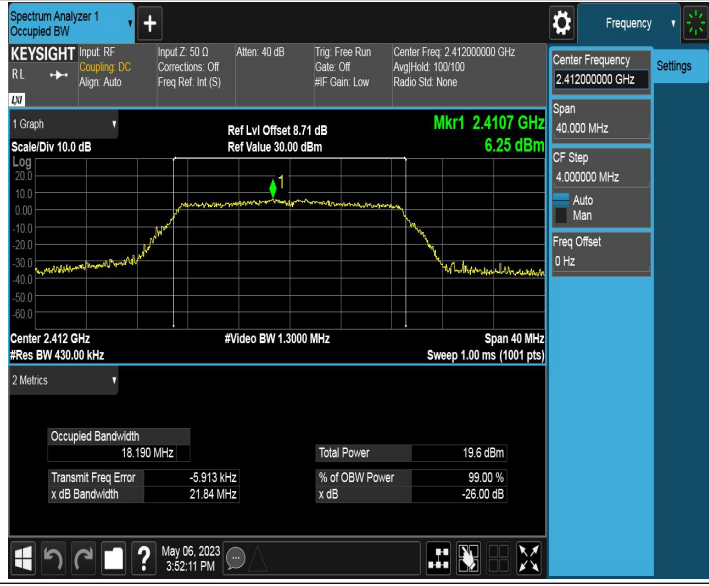
11AX20SISO_Ant1_2462



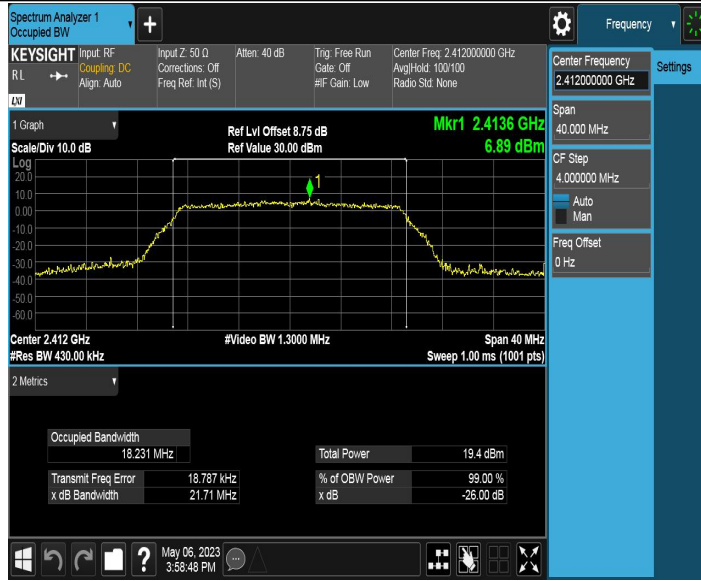
11AX20SISO_Ant2_2462



11N20MIMO_Ant1_2412



11N20MIMO_Ant2_2412



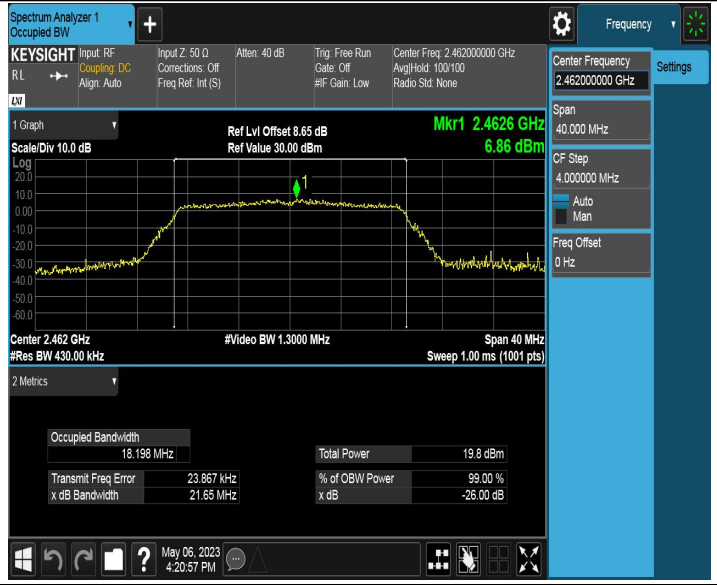
11N20MIMO_Ant1_2437



11N20MIMO_Ant2_2437



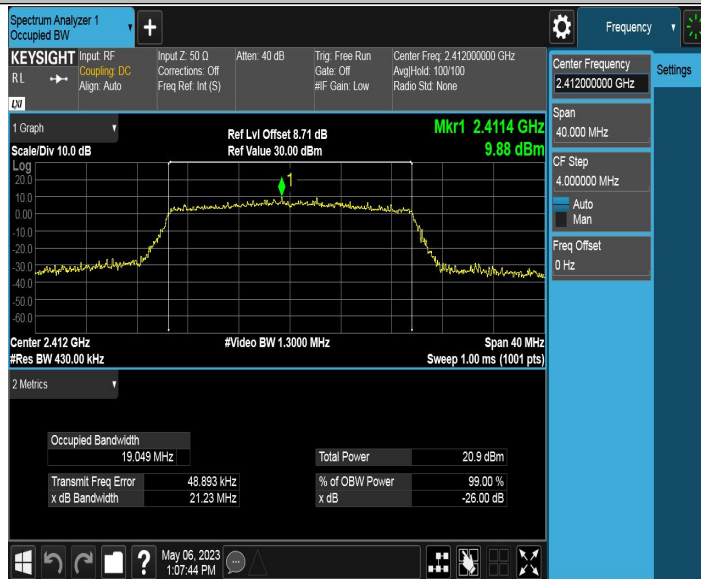
11N20MIMO_Ant1_2462



11N20MIMO_Ant2_2462



11AX20MIMO_Ant1_2412



11AX20MIMO_Ant2_2412



11AX20MIMO_Ant1_2437



11AX20MIMO_Ant2_2437



11AX20MIMO_Ant1_2462



11AX20MIMO_Ant2_2462

